

저품위 석회석과 규석중의 SiO_2 성분이 소성성에 미치는 영향

박해경* · 정현일 · 임영수

〈아세아시멘트공업(주) 기술연구소〉

I. 서 론

시멘트 원료는 석회질, 규산질, 점토질, 산화철 원료로 대별되고 있으며, 이들은 고유의 광물화학적 특성을 갖고 있는데, 기본적으로 화학조성의 적합성, 제조공정(분쇄, 혼합 등)에 대한 물리적 적응성 및 열적 결합성(이소성성)이 요구되고 있다.^(1~8)

일반적으로 최적 소성성을 갖는 시멘트 조합원료의 구성광물은 미세 결정질의 석회석과 비표면적이 크고 결정수를 갖고 있는 규산염계 광물에 의한 영향이 크며, 또한 석회석에 함유되어 있거나 조합원료에 혼합되는 규석중의 SiO_2 성분은 그 함량과 결정크기, 분포상태 등에 의한 원료의 분쇄성 및 소성성에 많은 영향을 미친다. 특히 quartz의 광물형태 및 size 등은 C_2S 의 결정 size에 영향을 주며, 이는 quartz 결정이 미립질이면 분쇄성과 반응성도 좋으며, 결정분포가 분산된 상태라면 더욱 양호한 것으로 알려져 있다.^(2~6) 실제 품질관리상 SM 상향 관리의 경우, 규석을 사용하는 것보다 석회석에서 SM을 상승시키면 어떠한 문제점이 있는가에 직면하게 되어 그동안 경험에 의존해 오던 사항(석회석에서 SiO_2 성분이 높으면 소성성이 불량)들을 이론적으로 정립할 필요성을 느끼게 되었다.

그러므로 본 연구에서는 저품위 석회석과 규석중에 함유된 SiO_2 성분이 클링커 소성성에 미치는 영향을 고찰하기 위하여, 당공장에서 사용하는 석회석에 규석을 혼합한 조합원료와 SiO_2 함량이 높은 저품위 석회석에 규석을 혼합하지 않은 각각의 조합

원료를 제조하여, 이들 quartz의 광물형태와 입자 size 등이 소성성에 미치는 영향을 검토함으로써 kiln 생산성 향상 및 품질관리에 기여하고자 한다.

II. 실험방법

1. 출발원료

당공장에 사용하는 석회석(이하 투입 L/S) 및 SiO_2 성분이 높은 석회석(이하 저품위 L/S)과 규석, 철광석, 경석, 점토를 사용하였는데 그 화학성분 분석결과는 <표-1>과 같다.

2. 시료의 제조

동일 분말도의 조합원료를 제조하기 위하여 jaw crusher에서 5m/m 전통시킨 후, 원료 50g을 vibrating mill(독일 Herzog사, model; HSM 100)을 이용하여 18초 동안 분쇄하고, 실제 당공장의 규석 혼합 조합원료(이하 투입 R/M)와 규석을 혼합하지 않고 저품위 석회석을 사용한 조합원료(이하 저품위 R/M)를 입도분포 측정기(프랑스 CL-LAS ALCATEL사, model; 715C)에 의한 입도분포 측정과 air jet sieve(독일 ALPINE사 model; 200-LS)를 이용한 88 μm 잔사함량을 측정함으로써 분쇄성 시험을 행하였으며, 그 배합비와 화학성분은 <표-2>와 같다.

3. 석회석과 규석중 SiO_2 성분

석회석과 규석중의 SiO_2 성분이 소성성에 미치는 영향을 검토하기 위하여 실제 투입 L/S과 저품위

원료의 화학성분 분석결과

<表-1>

성분 원료	화학성분 (%)							SM	CaCO ₃ (%)
	SiO ₂	Al ₂ O ₃	Fe ₂ O ₃	CaO	MgO	SO ₃	Ig. loss		
투입 L/S	9.88	2.13	0.91	46.60	1.44	0.34	38.35	3.25	83.16
저품위 L/S	11.70	2.19	0.91	44.56	1.24	0.42	35.87	3.77	79.52
규석	92.06	4.29	2.52	-	-	0.07	1.10	-	-
철광석	12.55	4.70	62.70	2.90	18.17	-	2.87	-	-
경석	68.55	15.86	8.67	0.08	1.63	1.03	-	2.78	-
점토	66.10	21.19	4.76	1.26	0.94	-	4.37	2.55	-

원료배합비 및 조합원료의 화학성분 분석결과

<表-2>

항목 원료	배합비 (%)					화학성분 (%)				MODULUS			
	석회석	철광석	점토	경석	규석	SiO ₂	Al ₂ O ₃	Fe ₂ O ₃	CaO	MgO	LSF	SM	IM
투입 R/M	90.80	1.50	1.50	5.00	1.20	14.32	3.13	2.25	42.76	1.65	94.49	2.66	1.39
저품위 R/M	94.65	1.61	0.75	2.99	-	15.08	2.83	2.09	42.84	1.42	91.30	3.07	1.35

주) 1. 저품위 R/M의 경우, SiO₂ 함량이 높고 CaO 함량이 낮아 LSF를 투입 R/M와 동일하게 조정할 수 없으므로 burnability factor를 고려하여 SM과 관련시켜 modulus를 조정하였다.

$$2. F\text{-CaO}_{1450^{\circ}\text{C}} = 0.343(\text{LSF}-93) + 2.74(\text{SM}-2.3) \quad \begin{array}{l} \text{① 투입 R/M} = 1.4975 \\ \text{② 저품위 R/M} = 1.5267 \end{array}$$

L/S, 규석을 분쇄하여 88μm 잔사와 입도분포를 측정함으로써 분쇄성 시험을 행하고, TG-DTA(일본 RIGAKU사 model: 8076AI)에 의한 열적 특성을 분석하였으며, XRD(독일 SIEMENS사 model: D500) 및 편광현미경(독일 LEITZ사 model: OPTHOPLAN-POL)에 의한 구성광물과 결정상태 등을 관찰하였다.

또한 동일조건으로 분쇄된 두 종류의 석회석(투입, 저품위)과 규석은 각 20g씩 125μm sieve에 의한 wet sieving(수압: 11/10sec, 시간: 1분)과 acetic acid 20% 용액에 투입, 60°C의 가열판 위에서 30분 동안 교반, 산처리한 후 44μm sieve에 의한 wet sieving 후 45°C에서 전조하여 남은 잔량으로 중량백분율을 구하였다. 그리고 편광현미경(x 63)에 의한 quartz와 calcite의 size와 그 함량을 정량하고, Kirsten Theisen식에 의한 F-CaO 함량을 구함으로써 소성성을 예측하고, XRD에 의한 구성광물의 분석과 편광현미경에 의한 결정상태 등을 검증하였다.

그리고, 각 시료에 대한 quartz 형태와 크기 등을 관찰하기 위하여 acetic acid 20% 용액을 이용

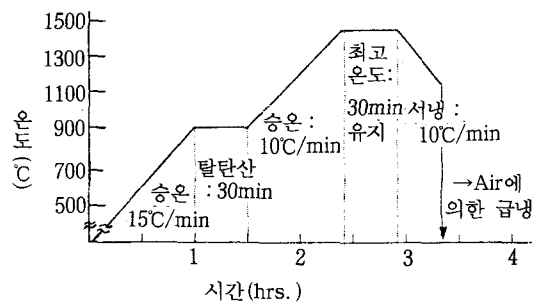
하여 30분 동안 3회씩 산처리하여 calcite를 완전히 용해시킨 후, 얻어진 quartz에 대하여 입도분포와 XRD 및 편광현미경에 의해 비교·관찰 하였다.

4. 조합원료의 소성성 시험

1) 클링커 제조

투입 R/M와 저품위 R/M를 고온전기로(일본 MOTOYAMA사, model: SBH-2025, max. temp. : 1,700°C)에서 각 클링커 광물 형성조건을 고려하여 <그림 1>과 같은 cycle로 소성하였다.

2) 편광현미경에 의한 클링커 검정



<그림-1> 소성성 시험 cycle

조합원료의 소성성을 파악하기 위하여 투입 R/M 와 저품위 R/M를 소성하여 반사현미경 시료로 제조하여 반사편광법(x 200)으로 클링커 광물의 형태와 size, 분포상태 등을 관찰하였다.

3) XRD에 의한 클링커 광물의 분석

제조된 클링커는 X선 회절분석기에 의한 클링커 구성광물을 분석하였으며, 그 조건은 다음과 같다.

Item	Condition
Target	CuK α
Filter	Ni
Voltage	40KV
Ampere	25mV
Scanning Speed	0.05sec

III. 결과 및 고찰

1. 분쇄성 시험 결과

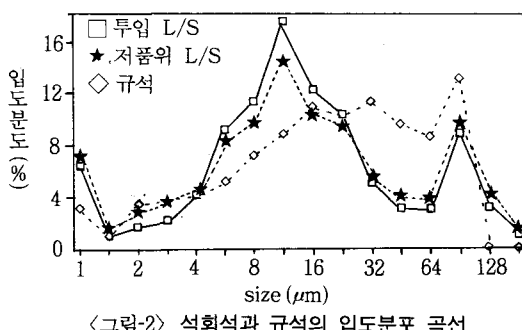
1) 석회석과 규석

투입 L/S와 저품위 L/S 및 규석을 vibrating mill에서 18초 동안 동일조건으로 분쇄하여 체잔분량과 입도분포를 측정한 결과는 <표 3>, <표 4>, <그림 2>와 같다.

잔사 측정결과, 저품위 석회석보다 투입 석회석과 규석이 88 μm 잔분이 적어 분쇄성이 양호한 것으로 나타났다.

석회석과 규석에 대한 입도분포 측정결과 규석의 경우 88 μm 잔분이 적고, 석회석 간에는 투입 L/S 이 44, 88 μm 잔분이 적어 규석, 투입 L/S, 저품위 L/S 순으로 분쇄성이 양호한 것으로 나타났다.

이는 석회석중 SiO_2 함량이 높을수록 quartz의



석회석과 규석의 체잔분량 측정결과
(단위 : %)

시료 잔사	투입 L/S	저품위 L/S	규석
44 μm R	26.9	31.2	45.3
88 μm R	18.4	19.2	15.9
125 μm R	8.4	10.8	4.2

석회석의 입도분포 측정결과

원료 size (μm)	투입 L/S	저품위 L/S	규석
1	6.4	6.4	6.7
1.5	1.0	7.4	8.1
2	1.7	9.2	11.0
3	2.2	11.4	14.6
4	4.0	15.5	19.1
6	9.1	24.6	27.4
8	11.3	35.9	37.2
12	17.5	53.4	51.7
16	12.2	65.6	62.3
24	10.3	76.0	71.9
32	5.0	81.0	77.1
48	3.0	84.1	81.1
64	2.9	87.0	84.6
96	8.7	95.7	94.3
128	3.1	98.9	98.5
192	1.0	100.0	100.0
median size (μm)	11.2	11.5	18.2
44 μm 이하(%)	83.7	80.6	77.0
88 μm 이하(%)	92.9	91.3	95.9

size가 100~150 μm 정도로 크고, quartz 입자가 밀집된 모자이크 구조로 이루어져 있으며, 또한 calcite 입자는 미립질과 결정질로 불균일한 분포를 보이기 때문에,³⁾ SiO_2 성분이 높은 저품위 L/S의 분쇄성이 불량하고, 규석 자체의 경우는 단독의 quartz 입자들의 균일한 분포로 인하여 분쇄성이 양호하게 나타난 것으로 생각된다.

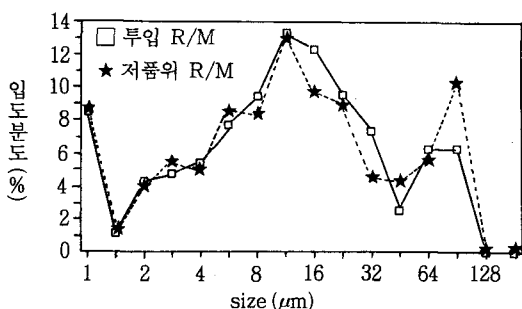
2) 조합원료

투입 R/M와 저품위 R/M의 입도분포 측정결과는 <표 5>와 <그림 3>에 나타내었다.

각 원료를 <표 2>의 배합비와 같이 혼합한 투입

조합원료의 입도분포 측정결과
(表-5)

원료 size (μm)	투입 Raw Mix	저품위 Raw Mix	저품위 Raw Mix	저품위 Raw Mix
1	8.4	8.4	8.7	8.7
1.5	1.2	9.7	1.6	10.4
2	4.4	14.1	4.2	14.6
3	4.8	19.0	5.5	20.2
4	5.5	24.5	5.1	25.3
6	7.7	32.2	8.6	33.9
8	9.4	41.7	8.4	42.4
12	13.4	55.1	13.4	55.9
16	12.3	67.5	9.7	65.6
24	9.5	77.1	9.0	74.6
32	7.4	84.6	4.6	79.3
48	2.6	87.2	4.4	83.8
64	6.3	93.6	5.8	89.6
96	6.3	100.0	10.3	100.0
128	0.0	100.0	0.0	100.0
192	0.0	100.0	0.0	100.0
median size (μm)	10.5	10.2		
44 μm 이하(%)	86.5	82.6		
88 μm 이하(%)	98.4	97.4		



〈그림-3〉 조합원료의 입도분포 곡선

R/M과 저품위 R/M를 88 μm sieve에 의한 잔사 측정결과, 투입 R/M가 15.2%, 저품위 R/M가 18.3%로 투입 R/M의 잔사함량이 낮게 나타났다.

그리고 입도분포 측정결과에서도 두 R/M간의 평균 입자크기는 유사하지만, 투입 R/M가 저품위 R/M에 비하여 미세한 입도의 함량이 많은 것으로 나타났는데, 이는 저품위 석회석과 규석의 분쇄성 시험결과와 그 경향성이 잘 일치함을 알 수 있다.

2. 석회석과 규석중의 SiO_2 성분의 관찰

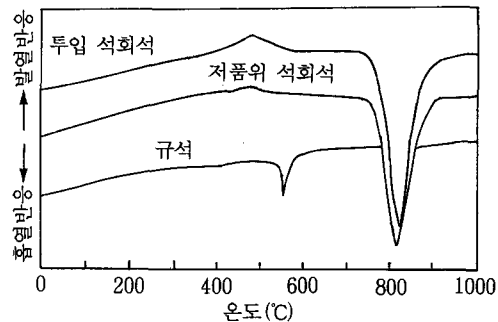
1) 시차열분석 결과

출발원료중 석회석과 규석에 대한 시차열분석 결과는 〈그림 4〉와 같다.

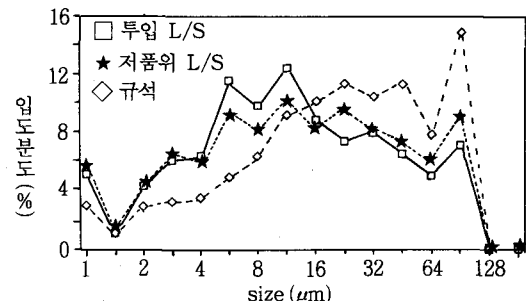
석회석과 규석의 TG/DTA에 의한 시차열분석 결과, 투입 L/S(820°C) 보다 저품위 L/S(810°C)는 CaCO_3 탈탄산 온도가 낮았는데, 이는 석회석중에 SiO_2 나 Al_2O_3 성분이 많으면 이를 성분이 flux 역할을 하여 낮은 온도에서 석회석 분해가 일어나기 때문이다. 그리고 규석은 570°C 부근에서 quartz의 변태(α 형→ β 형)에 의한 흡열 peak가 나타났다.

2) 입도분포 측정결과

석회석과 규석을 진동밀에서 18초동안 분쇄한 후, 이들 중의 SiO_2 성분에 대한 입도분포를 측정하기 위하여 두 석회석을 3회 반복하여 산처리한 후, 여과지(5A)를 사용하여 얻어진 quartz에 대한 입도분포를 측정한 결과는 〈표 6〉, 〈그림 5〉와 같다. 석회석과 규석을 산처리한 후 SiO_2 성분에 대한 입도분포 측정결과 석회석 간에는 투입 석회석중의 quartz가 분쇄성이 양호한 것으로 나타났으며, 규석의 경우 저품위 L/S보다 약간 rough하게 나타났다.



〈그림-4〉 석회석과 규석의 시차열분석 곡선



〈그림-5〉 산처리 후의 quartz 입도분포 곡선

〈表-6〉 산처리 후의 quartz 입도분포 곡선

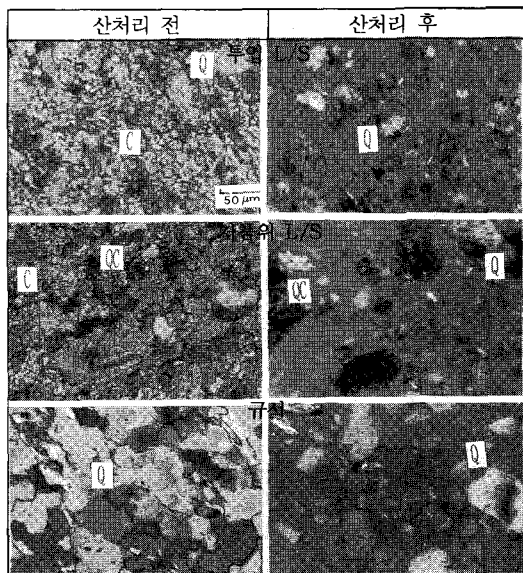
원료 size (μm)	투입 L/S		저품위 L/S		규석	
1	5.1	5.1	5.5	5.5	2.9	2.9
1.5	1.0	6.1	1.1	6.7	0.8	3.8
2	4.3	10.5	4.3	11.1	2.9	6.7
3	6.1	16.7	6.0	17.1	3.2	10.0
4	6.4	23.2	5.9	23.0	3.4	13.4
6	11.5	34.7	9.3	32.4	4.9	18.4
8	9.8	44.5	8.2	40.6	6.3	24.8
12	12.4	56.9	10.2	50.9	9.1	33.9
16	8.8	65.8	8.4	59.4	10.1	44.0
24	7.4	73.3	9.5	68.9	11.3	55.4
32	7.9	81.2	8.2	77.1	10.4	65.8
48	6.5	87.8	7.4	84.6	11.3	77.2
64	5.0	92.8	6.1	90.7	7.8	85.1
96	7.1	100.0	9.2	100.0	14.8	100.0
128	0.0	100.0	0.0	100.0	0.0	100.0
192	0.0	100.0	0.0	100.0	0.0	100.0
median size (μm)	9.8		11.6		20.2	
44 μm 이하(%)	86.0		82.6		74.4	
88 μm 이하(%)	98.3		97.8		96.3	

3) 편광현미경에 의한 관찰

quartz의 형태와 결정의 size를 관찰하기 위하여 석회석과 규석을 산처리하지 않은 시료는(〈그림 6〉 : A, C, E) 박편법으로, 산처리한 시료는(〈그림 6〉 : B, D, F) 분말법으로 검경하였다.

검경 결과, 저품위 L/S이 투입 L/S보다 quartz 결정의 함량과 결정의 size가 크게 나타났고($7\sim46\mu\text{m} \rightarrow 29\sim72$ ($77\sim100\mu\text{m}$)), 저품위 L/S은 quartz의 형태가 calcite 결정과 밀집된 모자이크 구조를 이루고 있었으며, 반면 규석은 순수한 quartz 결정과 결정의 size가 투입 L/S과 저품위 L/S에 비해 큼을 알 수 있었다. 이는 입도분포 측정결과 규석의 입도분포가 coarse size 분포가 많았던 점과 잘 일치되고 있다.

산처리 후 quartz 결정의 변화는 특히, 저품위 L/S의 경우 size가 큰 quartz의 결정과 큰 size의 calcite와 밀집된 모자이크 구조를 이루고 있는 결정이 많이 존재하고 있었다.



[C:Calcite, Q:Quartz(단독), QC:Quartz와 Calcite의 밀집된 모자이크 구조]

〈그림-6〉 석회석과 규석의 산처리 전·후 시료의 현미경 관찰사진

4) XRD에 의한 quartz 분석

석회석과 규석에 대한 산처리 전·후의 XRD 측정결과는 〈그림 7~9〉와 같다.

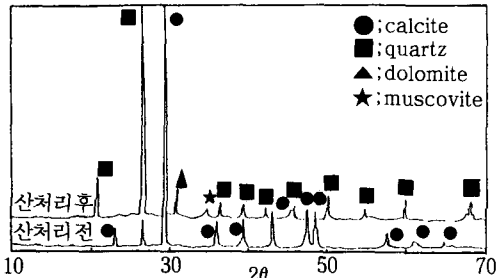
투입 및 저품위 L/S에 대한 산처리 전·후 quartz에 대한 XRD 분석결과, 산처리 후 공히 calcite peak는 나타나지 않았고, 저품위 L/S의 quartz peak intensity가 투입 L/S 경우보다 크게 나타났으며, quartz($2\theta = 26.5^\circ$) 외에도 dolomite($2\theta = 31.0^\circ$)과 muscovite($2\theta = 36.5^\circ$) 등의 peak가 나타나 이들 광물은 산처리의 영향을 적게 받음을 알 수 있었다. 규석의 산처리 전·후 XRD 분석결과에서도 산처리 후의 quartz peak intensity가 높게 나타났다.

3. 조합원료중 SiO_2 성분의 관찰

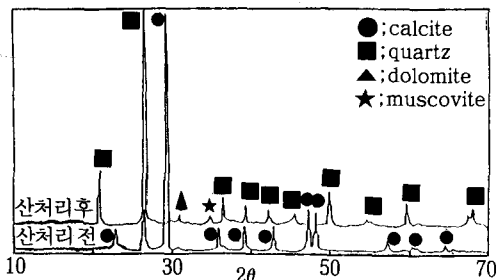
1) 편광현미경에 의한 quartz와 calcite 정량

편광현미경에 의한 조합원료중 산처리 전·후 quartz와 calcite 결정사진은 〈그림 10〉에, 그리고 정량결과는 〈표 7〉에 나타내었다.

투입 R/M과 저품위 R/M에 대한 산처리 전·후 44 μm wet sieving 후의 편광현미경 관찰결과 투입

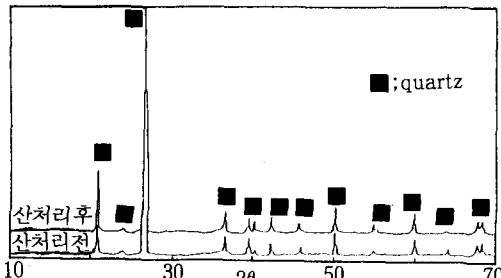


〈그림-7〉 투입 L/S의 산처리 전·후 시료에 대한 X선 회절도



〈그림-8〉 저품위 L/S의 산처리 전·후 시료에 대한 X선 회절도

R/M 경우는 단독의 calcite와 quartz 결정이 균일하게 분포되어 있으나, 저품위 R/M 경우는 calcite와 밀접된 모자이크 형태의 quartz 결정들이 관찰되었다. R/M에 대한 125 μm wet sieving 결과와 산처리 후 44 μm wet sieving 결과, 잔량에 대한 중량백분율은 저품위 R/M가 함량이 높게 나타나 투입 R/M가 분쇄성이 좋았음이 확인되었고, 편광현미경에 의한 quartz와 calcite 정량결과, 125 μm



〈그림-9〉 규석의 산처리 전·후 X선 회절도

wet sieving에서는 두 결정 모두 투입 R/M의 경우가 함량이 많았고, size도 크게 관찰되었으며, 산처리 후 44 μm wet sieving에서는, 저품위 L/S을 혼합한 R/M에서 함량이 많았고 size도 크게 관찰되었다.

이러한 사실로서 저품위 L/S중의 calcite는 미립질 결정의 불균일한 분포로 분쇄성 저하를 가져오며, quartz 경우는 저품위 R/M가 44 μm 잔사중 quartz size가 큰 것으로 보아 밀집된 모자이크 구조에 의한 분쇄성 저하가 있었음을 현미경 관찰결과에서도 알 수 있었다.

2) XRD에 의한 측정

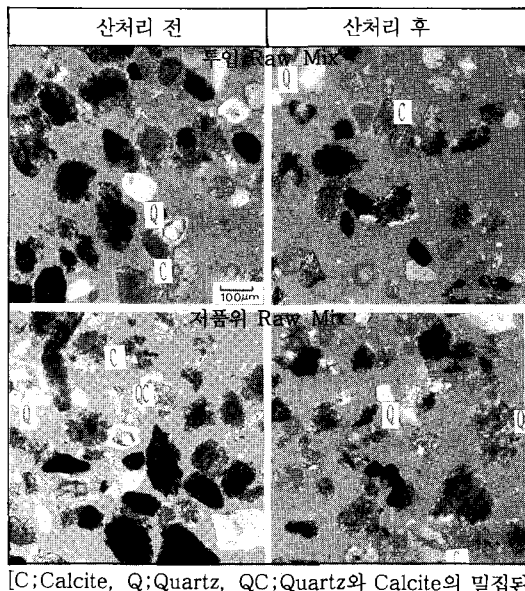
투입 및 저품위 R/M의 산처리 전·후 XRD 측정결과는 〈그림 11, 12〉와 같다.

두 R/M에 대한 XRD 측정결과 125 μm wet sieving 결과와 산처리 후 44 μm wet sieving 결과, quartz peak intensity는 저품위 L/S 혼합 R/M 경우가 높게 나타났고, 특히 석회석중의 미량

투입 R/M와 저품위 R/M중의 quartz와 calcite의 정량결과

〈表-7〉

시료	항 목		증량 백분율 (%)	정량결과			추정 F-CaO (%)
	125 μm R	함량 (%)		quartz	calcite	기타	
투입 R/M	125 μm R	size (μm)	7.75	1.90	95.84	2.26	1.75
		함량 (%)		165~375	165~375	142~270	
	44 μm R	size (μm)	6.55	15.33	76.19	8.49	
		함량 (%)		52~188	60~210	90~120	
저품위 R/M	125 μm R	size (μm)	9.55	1.50	93.60	4.90	1.86
		함량 (%)		165~195	150~353	165~323	
	44 μm R	size (μm)	7.55	24.18	66.01	9.81	
		함량 (%)		53~240	75~360	60~315	



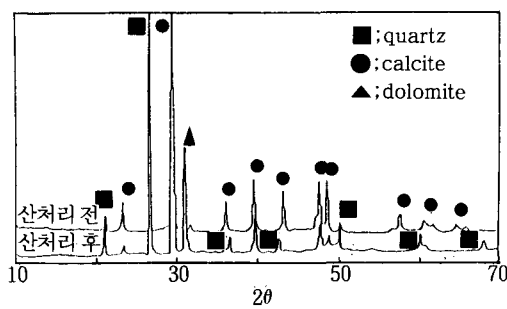
[C: Calcite, Q: Quartz, QC: Quartz와 Calcite의 밀집된 모자이크 구조]

<그림 10> 편광현미경에 의한 조합원료 관찰사진

성분인 dolomite peak ($2\theta = 31^\circ$)의 경우 산처리 후에는 peak intensity가 크게 증가되어 나타났으며, 저품위 R/M의 경우는 투입 R/M보다 peak intensity가 높게 나타났다.

이상의 석회석과 규석중의 SiO_2 성분에 대한 관찰결과, 투입 R/M중의 SiO_2 는 저품위 R/M보다는 quartz 단독 결정과 일정한 size, 균일한 분포상태 등에 의하여 분쇄성이 우수하지만, 저품위 경우는 calcite 결정과 밀집된 모자이크 형태의 결정이 불균일한 분포를 이루고 있어 분쇄성 및 소성성에 나쁜 영향을 줄 것으로 생각된다.

4. 조합원료 소성성 시험



<그림 11> 투입 R/M에 대한 산처리 전·후 X선 회절도

1) Kirsten Theisen식에 의한 소성성의 이론적 인 고찰

편광현미경에 의한 quartz와 calcite 정량 결과로 Kirsten Theisen Equation에 의한 $F\text{-CaO}_{1450^\circ}^{30'}$ 함량을 추정하였으며, Kirsten Theisen Equation¹⁾은 다음과 같다.

$$F\text{-CaO}_{1450^\circ}^{30'} = 0.343(\text{LSF}-93) + 2.74(\text{SM}-2.3) \\ + 0.10C_{125} + 0.83Q_{44} + 0.39A_k$$

where [LSF : Lime Saturation Factor]

SM : Silica Modulus

C_{125} : Content of Coarse Calcite

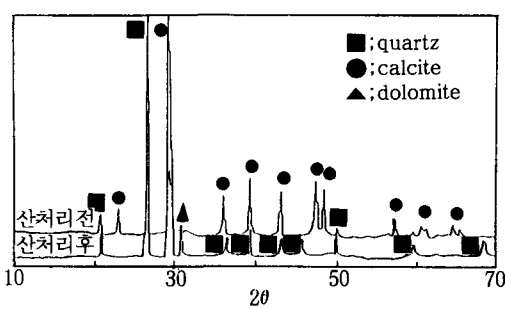
Q_{44} : Content of Coarse Quartz

A_k : $100 - (C_{125} + Q_{44})$

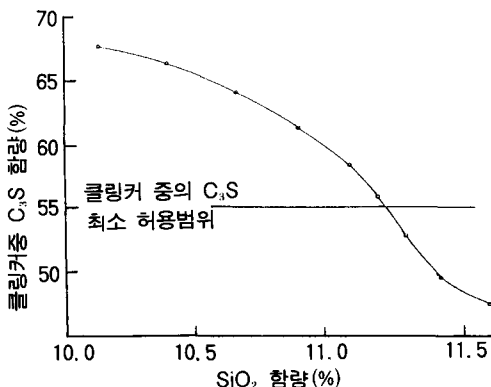
Kirsten Theisen Equation에 의한 $F\text{-CaO}$ 추정결과 투입 R/M가 약간 높게 (0.11%↑) 나타났는데, 이는 저품위 L/S중 quartz 결정이 calcite 결정과 모자이크 구조로 불균일하게 분포되어 있고, size가 크며, 그 함량이 많아 분쇄성을 저하시키기 때문으로 생각된다. 또한, 이로 인한 소성성에도 좋지 않은 영향을 주어 클링커광물형성이 원활하지 못한 것으로 판단된다.

2) 석회석중의 SiO_2 함량과 C_3S 함량과의 관계⁹⁾

조합원료의 SiO_2 함량이 같더라도 함유광물(quartz)의 양에 따라 소성성의 차이가 크게 나타나는데, <그림 13>에서와 같이 임계함량 이상이 되면 C_3S 함량이 급격히 감소하고 $F\text{-CaO}$ 함량이 증가하여 클링커의 품질이 급격히 나빠지게 된다. [석회석중의 SiO_2 함량이 1.1% 증가할 때 클링커의 C_3S 함량은 20% 이상 감소한다]



<그림 12> 저품위 R/M에 대한 산처리 전·후 X선 회절도



<그림 13> 석회석중의 SiO₂ 함량과 C₃S 함량과의 관계

3) 화학성분 분석

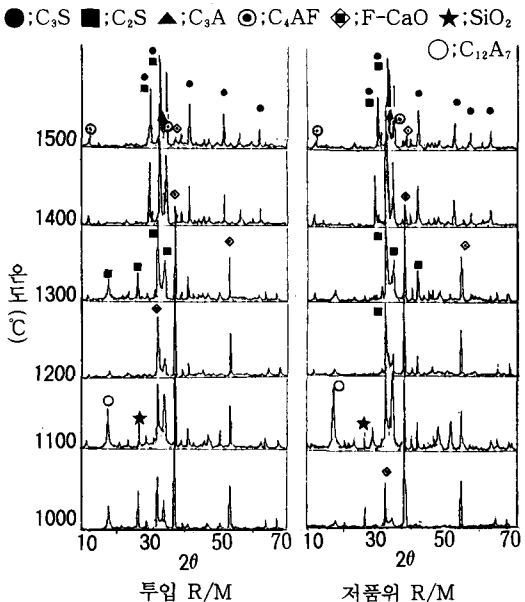
투입 R/M와 저품위 R/M를 소성하여 얻어진 클링커를 습식분석에 의한 화학성분을 분석한 결과 <표 8>과 같다.

소성성 시험결과, 이론적인 고찰에서와 같이 저품위 R/M의 클링커가 투입 R/M 대비 소성성이 불량하여 F-CaO 함량이 높게 나타났다.

4) XRD 측정결과

투입 및 저품위 R/M에 대하여 <그림 14>에 소성온도별 X선 회절도를 나타내었다.

투입 R/M와 저품위 R/M를 이용한 각 온도별 소성된 클링커의 X선 회절분석 결과, 투입 및 저품위 R/M 공히 1,300°C까지 F-CaO peak가 크게 나타났으나, 1,400°C 이후에는 peak intensity가 크게 감소되었고, 1,300°C 이후부터 클링커 광물이 생성됨을 알 수 있었다. 그리고 투입 R/M와 저품위 R/M를 비교시 1,500°C에서 F-CaO peak



<그림 14> 투입 R/M의 온도별 X선 회절도

intensity가 투입 R/M의 경우 낮게 나타나 투입 R/M의 경우 소성성이 양호한 것으로 나타났다.

5) 편광현미경에 의한 클링커 광물분석

투입 R/M와 저품위 R/M를 소성하여 제조한 클링커를 반사현미경 시료로 제조하여 반사편광법으로 관찰한 결과는 <그림 15>와 같다.

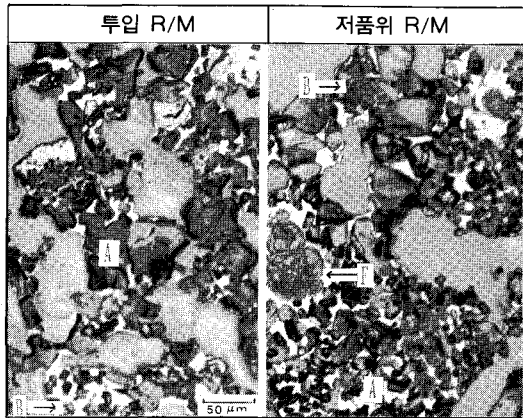
그림에서와 같이 alite 결정은 두 클링커 모두 자형으로 아주 양호하게 생성되었지만, belite 결정은 투입 R/M의 클링커 경우는 대부분 자형인 타원형으로 생성이 되었고, lamellar 구조의 belite 결정이 소량 관찰되었지만 저품위 R/M의 클링커 경우

클링커 화학성분 분석결과

<表-8>

원료	화학성분 (%)									
	SiO ₂	Al ₂ O ₃	Fe ₂ O ₃	CaO	MgO	SO ₃	K ₂ O	Na ₂ O	F-CaO	Ig. loss
투입 L/S	22.17	5.03	3.48	65.83	2.63	0.23	0.31	0.11	1.04	0.24
저품위 L/S	23.20	4.59	3.21	65.82	2.26	0.25	0.36	0.08	2.08	0.25

원료	MODULUS			클링커 광물 조성			
	LSF	SM	IM	C ₃ S	C ₂ S	C ₃ A	C ₄ AF
투입 L/S	93.45	2.61	1.45	60.00	18.39	7.45	10.58
저품위 L/S	90.59	2.97	1.58	55.42	24.80	6.74	9.76



[A:Alite, B:Belite, F:F-CaO]

<그림 15> 편광현미경에 의한 클링커 광물 관찰사진

는 자형인 타원형으로 생성되었으나, lamellar 구조의 belite 결정의 군정과 F-CaO 군정이 관찰되었다.

IV. 결 론

석회석과 규석중의 SiO_2 성분이 클링커 소성성에 미치는 영향에 대한 시험결과 다음과 같은 결론을 얻었다.

- 저품위 석회석을 사용하여 조합원료 제조시 SiO_2 함량이 높고, CaO 함량이 낮아 modulus 중 LSF와 SM의 조정이 곤란하였다.
- 저품위 석회석과 규석에 대한 분쇄성 시험결과, 규석은 $88\mu\text{m}$ 잔분이 적어 분쇄성이 양호하였으며, 저품위 석회석은 $88\mu\text{m}$ 잔분이 많고, 입도분포 측정결과 $96\mu\text{m}$ 이상의 입도 함량이 많아 분쇄성이 불량한 것으로 나타났다.
- 저품위 석회석과 규석을 산처리한 결과, 저품위 석회석중 quartz는 coarse size의 입도 함량이 많고, 현미경 검정결과에서도 size가 크며 quartz 결정은 calcite 결정과 함께 밀집된 모자이크 구조로서 불균일하게 분포되어 있었다.
- 저품위 석회석과 규석을 사용하여 제조한 조합원료는, 저품위 석회석을 사용한 조합원료의 경우, quartz size도 크고 함량이 많았으며, Kirsten

Theisen 식에 의한 소성성 예측에서 추정 F-CaO 함량도 규석을 사용한 조합원료보다 높게 나타났다.

5. 실제 전기로를 이용한 소성성 시험결과, 저품위 석회석을 사용한 조합원료가 F-CaO 함량이 높았고($1.04\% \uparrow$), 소성된 클링커는 lamellar 구조의 belite 군정과 F-CaO 군정이 관찰되었다.

6. 결론적으로, 저품위 석회석은 석회석중 SiO_2 함량이 높고 CaO 함량이 낮아 modulus 조정이 어렵고, quartz는 결정 size가 크며, calcite 결정과 함께 밀집된 모자이크 구조로 불균일하게 분포되어 있어, 조합원료 소성시 belite 입자를 크게 하고, belite와 F-CaO 군정이 다양 생성됨으로써, 클링커 소성성과 분쇄성 불량을 초래하게 되므로 저품위 석회석의 사용은 바람직하지 않은 것으로 사료된다.

<참 고 문 헌>

- Kirsten Theisen, "The Influence of Raw Mix Burnability on Cement Clinker", World CEMENT AUGUST 1992, pp. 17~23.
- 李卿喜, 大門正機, "各種 硅酸 Calcium 을 出發物質로 한 水熱反應에 關한 研究", 제12회 시멘트 심포지엄(1984), pp. 48~50.
- 노성호, 곽복환, "석회석의 구성광물과 그 반응성에 대하여", 제19회 시멘트 심포지엄(1991), pp. 70~77.
- 김형선, "조합원료의 소성성 검토", 제16회 시멘트 심포지엄(1988), pp. 41~51.
- 김중락, "各種 硅石質 原料의 燒成度 試驗", 제17회 시멘트 심포지엄(1989), pp. 22~28.
- 崔龍, "석회석 품위별 특성이 시멘트 클링커 광물 생성에 미치는 영향", 한양대학교 박사학위 논문.
- 崔相紹, "시멘트 클링카 소성반응", 제10회 시멘트 심포지엄(1982), pp. 41~47.
- 池正植, "클링카 鐵物中 Ferrite 격자상수 측정 및 현미경 관찰을 통한 냉각상태 추정", 시멘트 심포지엄.
- S. N. Ghosh, Advances in Cement Technology, Pergamon Press Ltd., 1983.